

# 高解像度衛星リモートセンシング技術と 広域斜面災害評価への応用

- 新潟県中越地震における3D地形解析を例として -

(株)NTTデータ 技術開発本部  
ユビキタスPF センサネットワークG  
宮崎早苗

# ・研究の背景

## 【衛星画像の特徴】

遠隔より、広域・面的・周期的に情報収集が可能

## 【社会的】

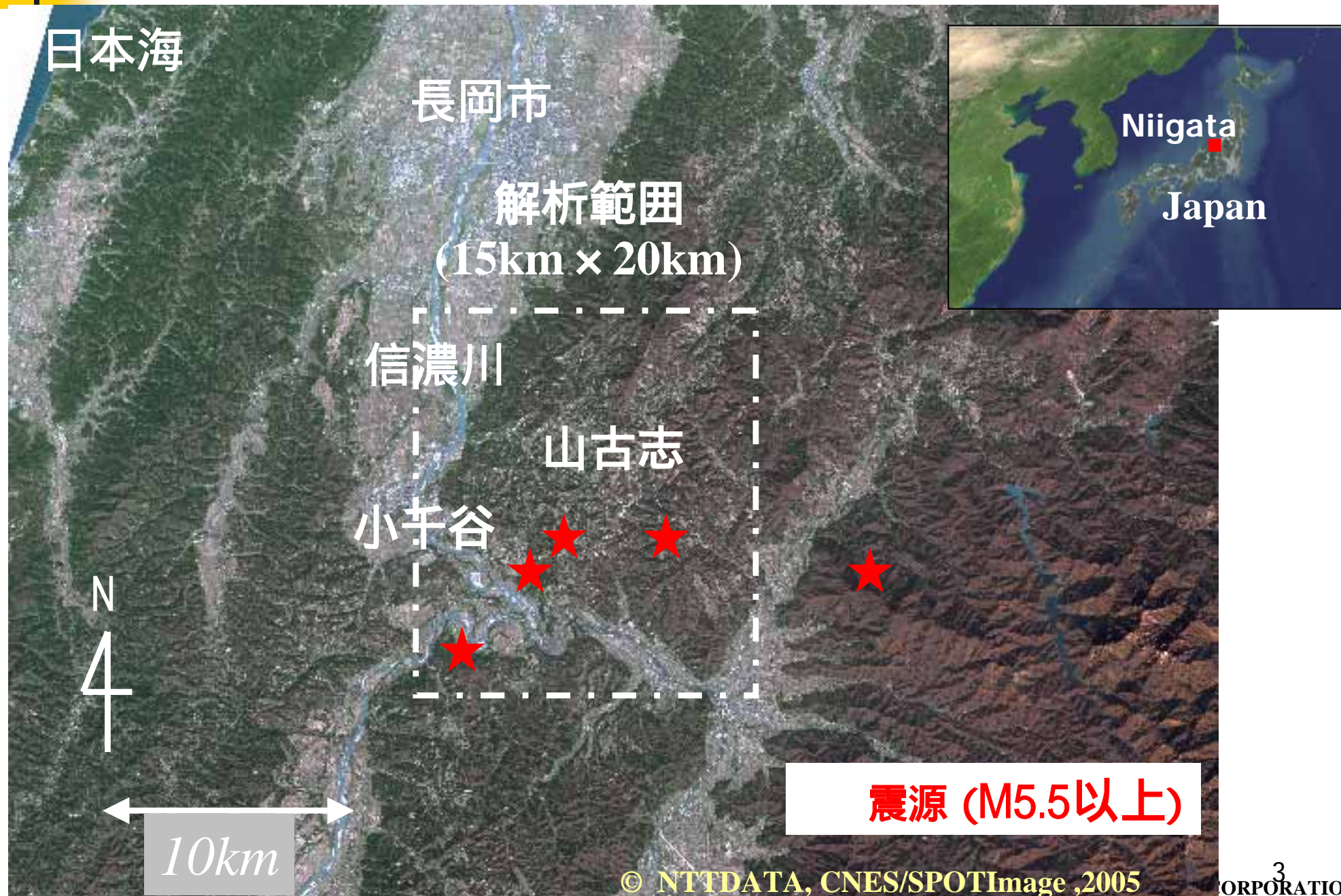
- ・近年の異常気象に伴う大型台風,大地震を起因とした斜面災害が日本,アジア各地で多発
- ・早期復旧支援体制の確立、高精度危険予測が重要( ? )

衛星画像を用いた広域面的継続モニタリングに基づく  
災害情報抽出の可能性について検討

## 【本研究】

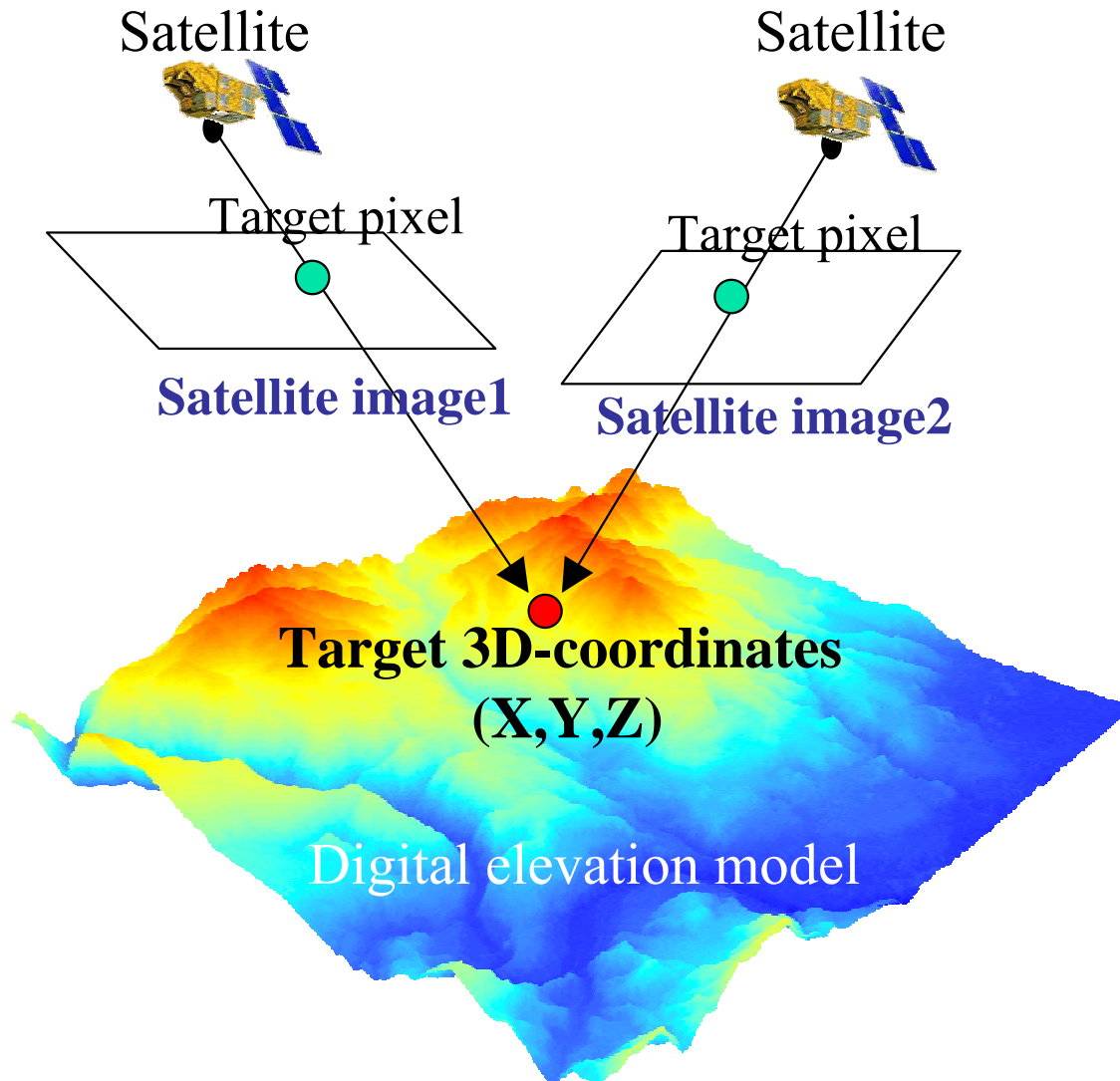
斜面災害前後の3D地形変化解析による災害検出・規模推定  
2004年新潟県中越地震に伴う斜面災害へ適用

# 対象地域



# 3D地形の推定：ステレオ画像解析

ステレオ画像解析の模式図



画像処理過程

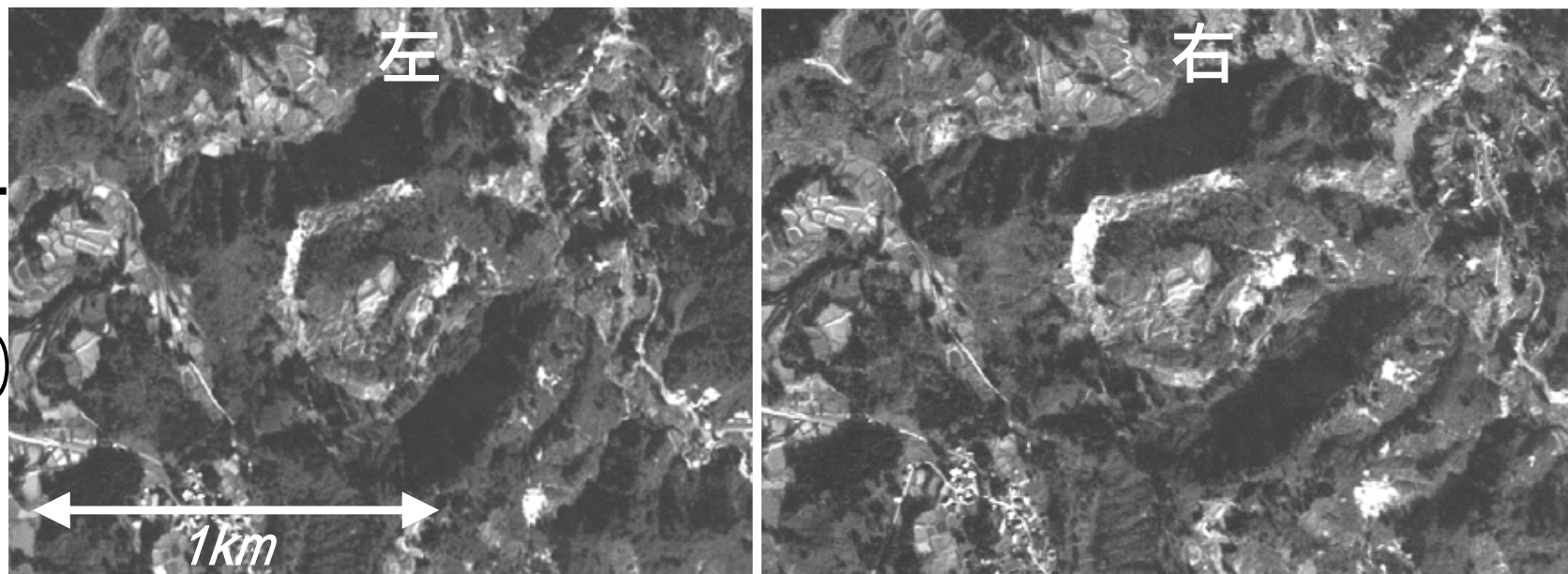


# ・利用データ

## ・衛星画像: SPOT5衛星パナクロマチック・ステレオペア画像

性能	画像解像度	地上撮影幅	撮影角
	2.5m	60km	$\pm 0 \sim 31^\circ$

ステレオ  
画像例  
(災害後)



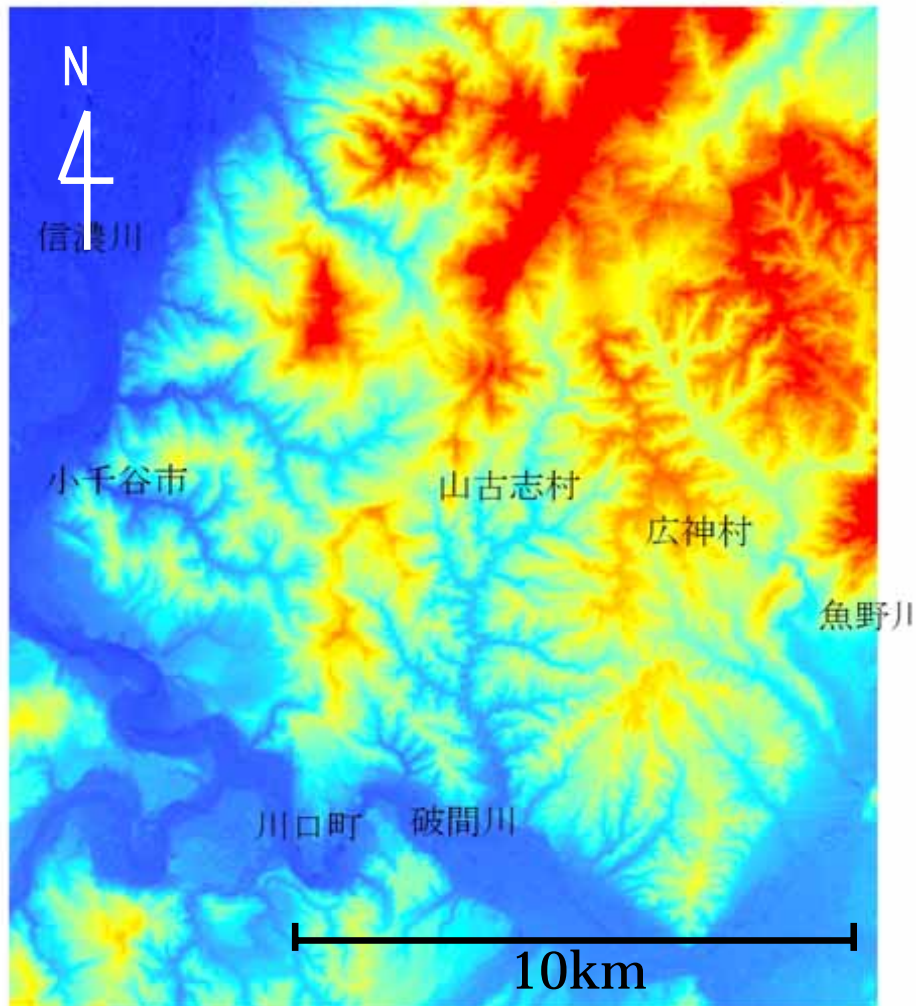
## ・中越地震前後の2組のステレオペア画像を利用

	災害2ヶ月前	災害直後
撮影日(視差角)	8月2、13日 (19度)	10月29日、11月9日 (17度)

# ・ DEMデータ抽出結果

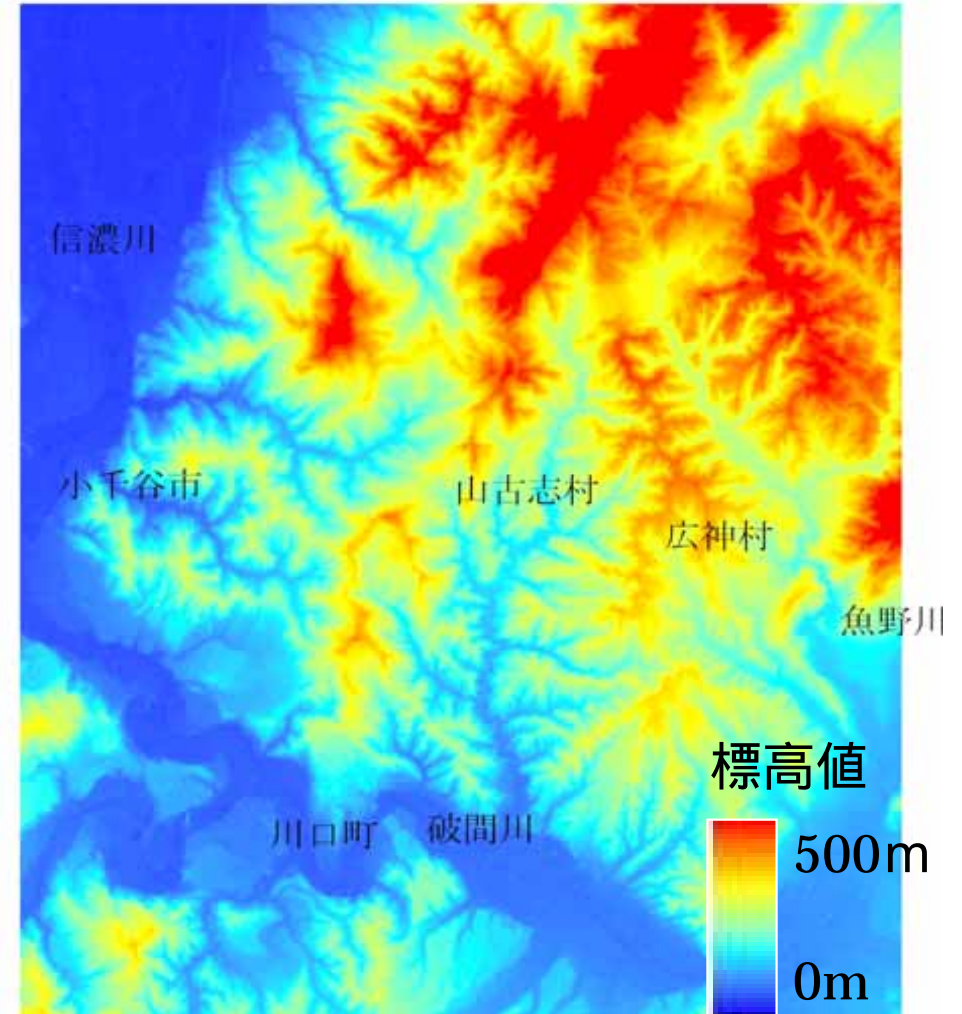
震災2ヶ月前

Aug. 2004(Before Earthquake)



震災直後

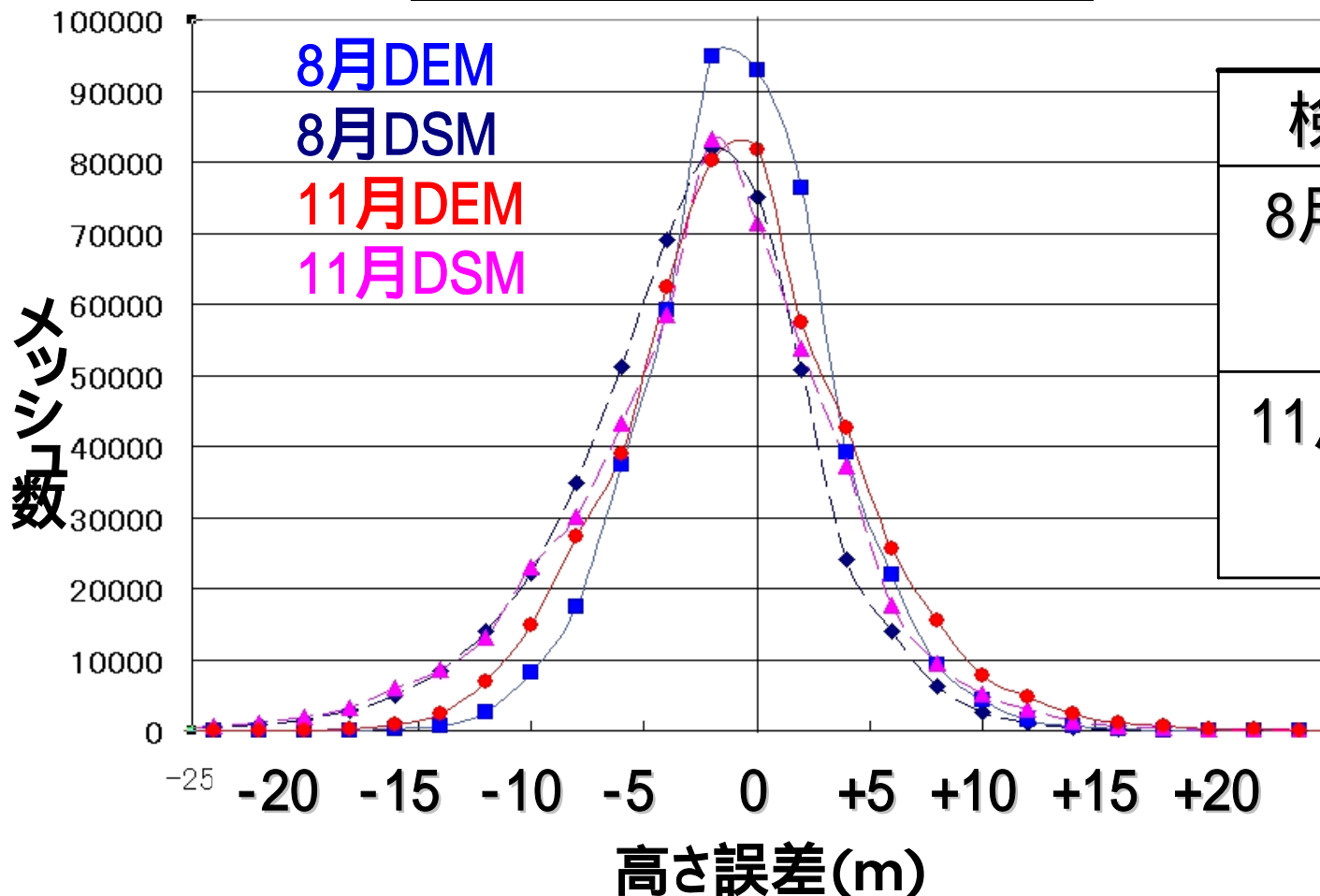
Nov. 2004(After Earthquake)



# ・高さ精度

- ・ 衛星画像からの5mメッシュDEM,DSMデータの精度検証
- ・ 震災直後計測の航空レーザ測量データと差分比較

### 高さ誤差のヒストグラム分布



### ・精度検証結果

検証項目		誤差m(1σ)
8月	DEM	4.1
	DSM	5.3
11月	DEM	5.2
	DSM	5.8

\* DEM: 樹高補正標高  
DSM: 樹高含む高さ

\* 検証エリアは約3×2km<sup>2</sup>の2箇所設定

# ・ 衛星DEMに基づく中越地震前後の3D地形データ

震災2ヶ月前 Aug. 2004 (Before Earthquake)



長岡市

信濃川

小千谷市

旧山古志村

芋川

魚野川

川口町

5 km





# ・ 衛星DEMに基づく中越地震前後の3D地形データ

震災直後 Nov. 2004(After Earthquake)



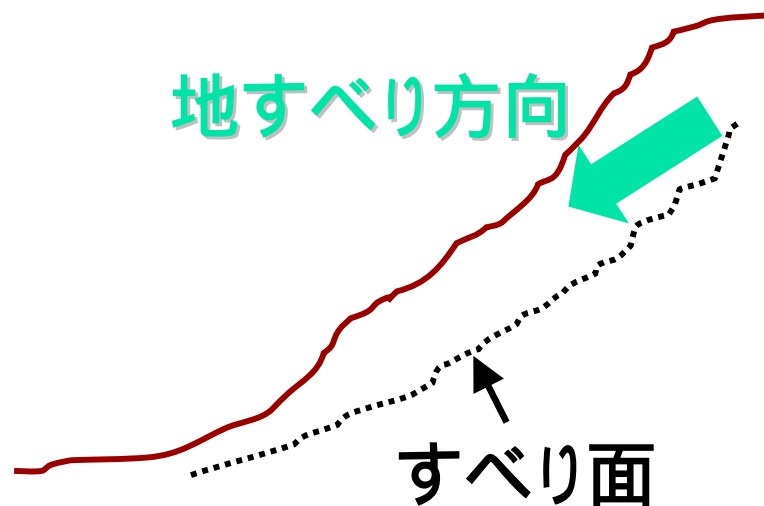
# ・標高変化解析

- ・ 斜面災害前後の高さ変化を,2時期の衛星DEMから差分計測。高さ変化量から崩壊箇所/規模を推定する方法。

## 斜面災害前後の標高変化の模式図(地すべりの例)

・ 地すべり前の標高値

地すべり方向

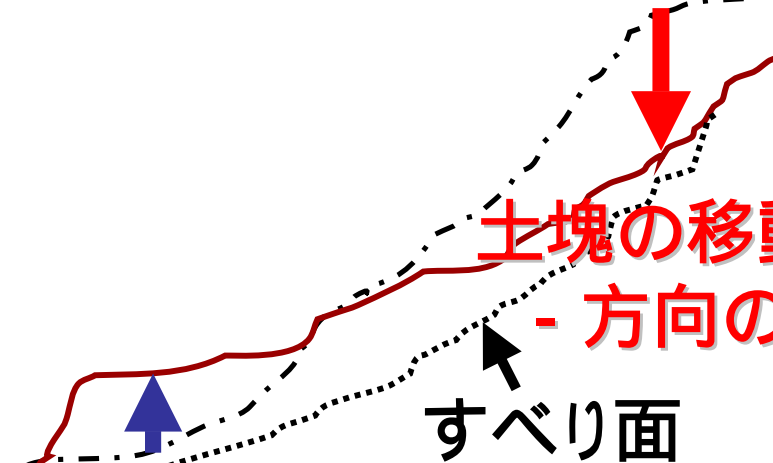


すべり面

・ 地すべり後の標高値

土塊の移動発生箇所  
- 方向の標高変化

土塊の堆積箇所  
+ 方向の標高変化



すべり面

# 衛星画像解析に基づく中越地震前後の標高変化図

N  
4

小千谷

寺野地すべりダム

東竹沢地すべりダム

旧山古志

茅川

4 石坂山北西斜面

5 小栗山東面

19 風口峠北方

16 一峰沢左岸 (和田川)

2 白岩

3 白岩南方

1 朝日山西側斜面

18 竹沢 (羽黒山西方)

17 羽黒山

13 南平・池谷 (茅川本流沿い)

15 寺野 (茅川本流沿い)

14 寺野-南平間 (茅川本流沿い)

12 榑木 (茅川本流沿い)

23 榑木南方

9 大日山北方

10 東竹沢 (茅川本流沿い)

M5.7

11 十二平

M6.5

8 峠東方 (塩谷川沿い)

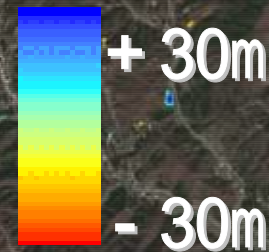
22 塩谷南方

21 十二平西方

7 木沢東方 (塩谷川沿い)

M6.8

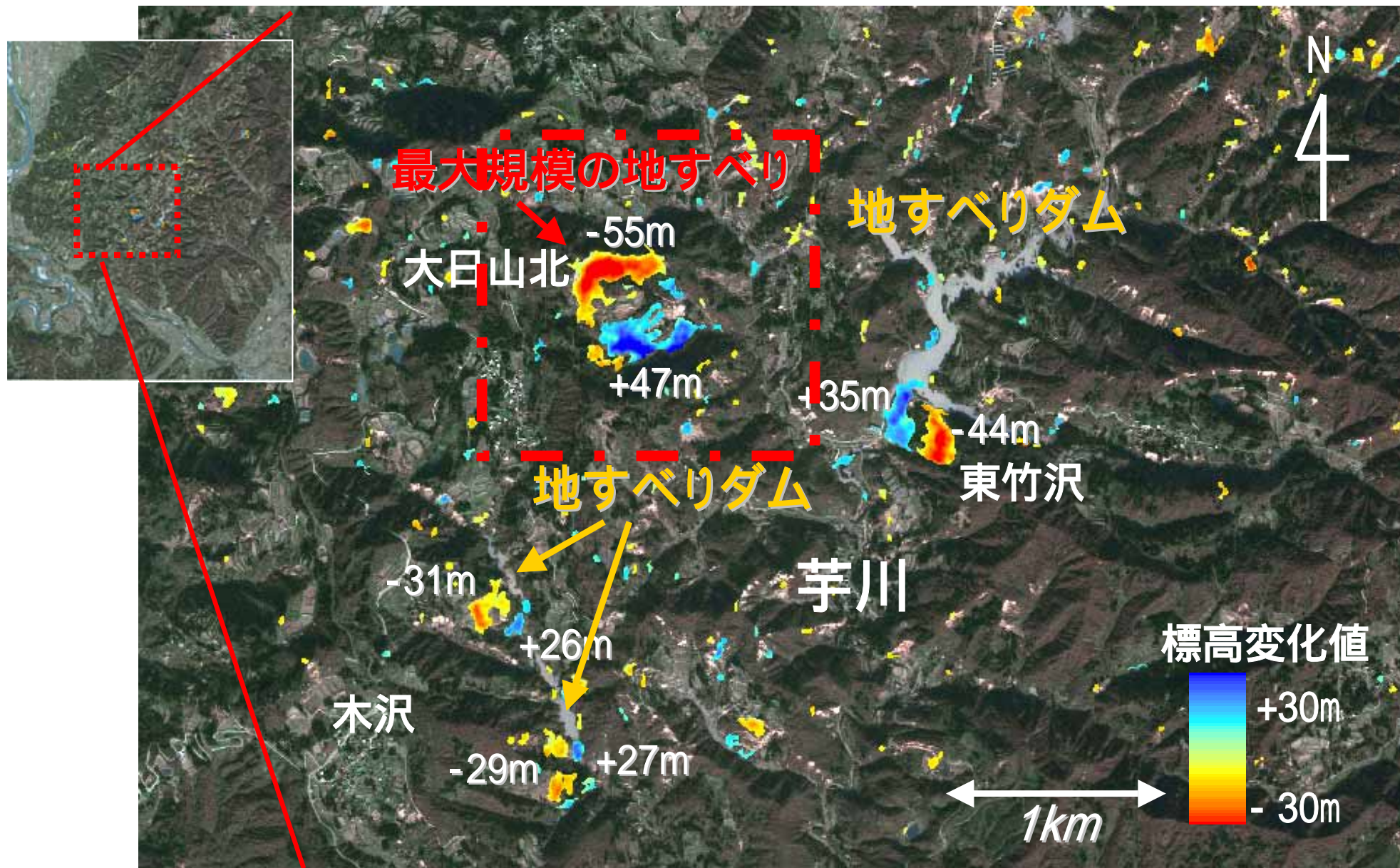
標高変化値



5km

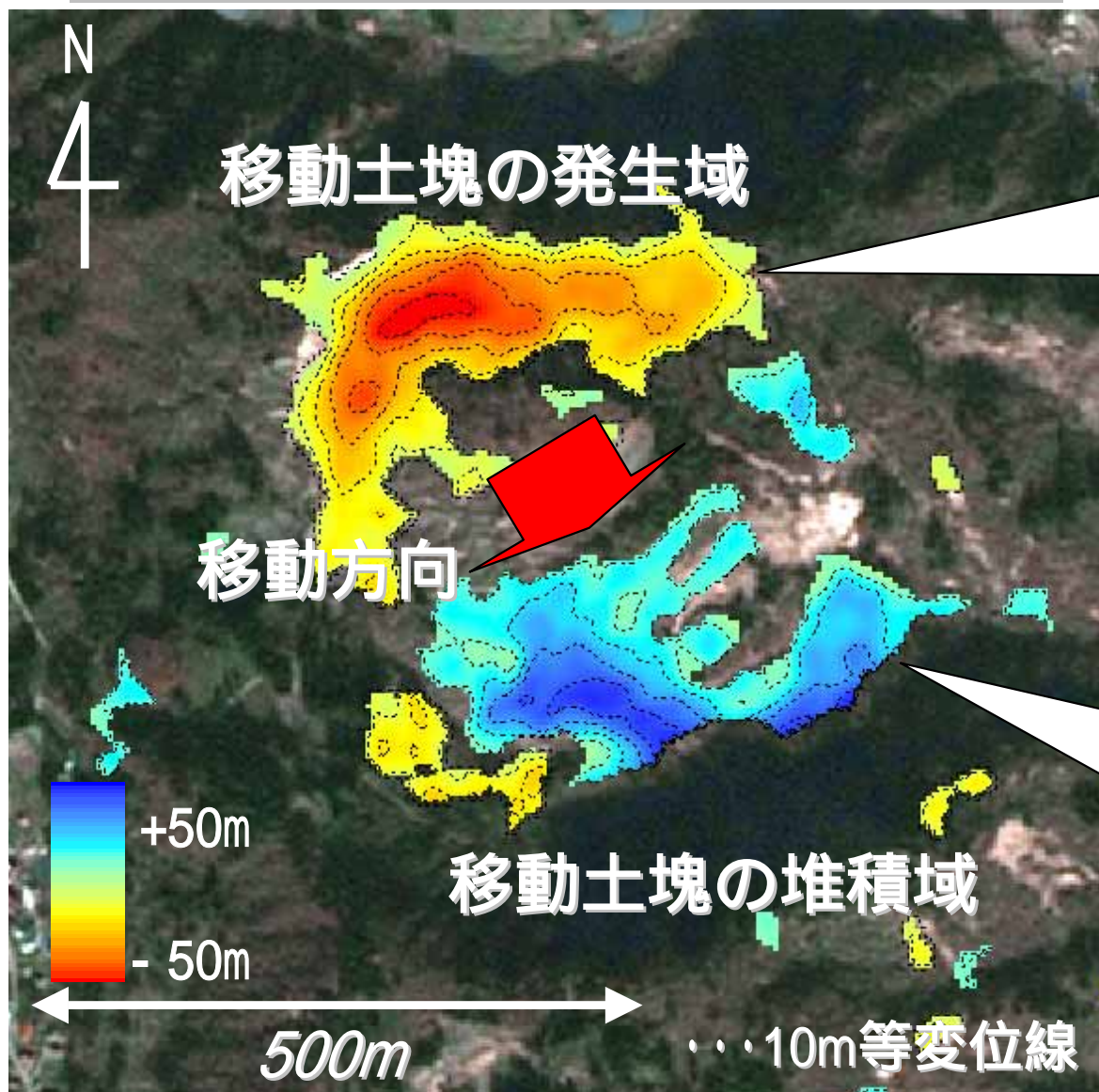


# 芋川流域の中越地震前後の標高変化図



# 災害規模の推定例:大日山北方地すべり

## 衛星画像解析に基づく標高変化図



## 災害規模の自動計算 土塊発生域(-方向変化)

最大変化	- 55m
平均変化	- 22m
変化面積	76,725m <sup>2</sup>
変化体積	1,714,040m <sup>3</sup>

## 土塊堆積域(+方向変化)

最大変化	+ 47m
平均変化	+ 20m
変化面積	64,450m <sup>2</sup>
変化体積	1,304,630m <sup>3</sup>

# ・中越地震に伴う斜面災害規模の推定結果



## ・崩壊規模上位3箇所と東山丘陵全体の規模推定結果

規模順位/地名	種別	変化方向	最大変化(m)	面積(m <sup>2</sup> )	体積(m <sup>3</sup> )
1. 大日山北方	地すべり	-	-55	76,735	-1,714,038
		+	47	64,450	1,304,631
2. 東竹沢 芋川地すべりダム	地すべり	-	-44	30,250	-701,887
		+	35	29,900	527,134
3. 一峰沢左岸 和田川支流沿い	地すべり	-	-31	43,725	-608,292
		+	38	37,050	736,374
* 東山丘陵合計:		-	-55	1,323,000	-15,509,000
		+	47	775,000	10,764,000

- ・特に大規模な崩壊発生箇所は、“大日山、東竹沢、一峰沢”。
- ・最大約 ± 50mの標高変化を検出(大日山北地すべり)。
- ・東山丘陵全体で、約15,000,000m<sup>3</sup>規模の-方向の標高変化を推定。

# ・斜面災害の検出精度

誤検出率の評価(空中写真で判読した結果と比較)

・検出箇所に含まれる崩壊箇所と非発生箇所の割合

	崩壊発生箇所の面積割合	非発生箇所の面積割合
- 方向の標高変化域	72.0%	28.0%
+ 方向の標高変化域	66.3%	33.7%
±両方向の標高変化域	70.1%	29.9%

検出率の評価(文献の主要斜面災害箇所\*と比較)

災害種別	精度%(検出数/検出数)
地すべり・崩壊	100%(20/20)**
谷堆積物の流動	0%(0/3)

植生の影響

変化が小

\* 千木良(2005)、八木(2005)が写真判読と現地調査で確認した幅20m以上の主要箇所。

\*\* 部分検出を3箇所含む。

## 斜面災害域の崩壊方位分布(面積割合)

図 : 東山丘陵の  
斜面方位分布

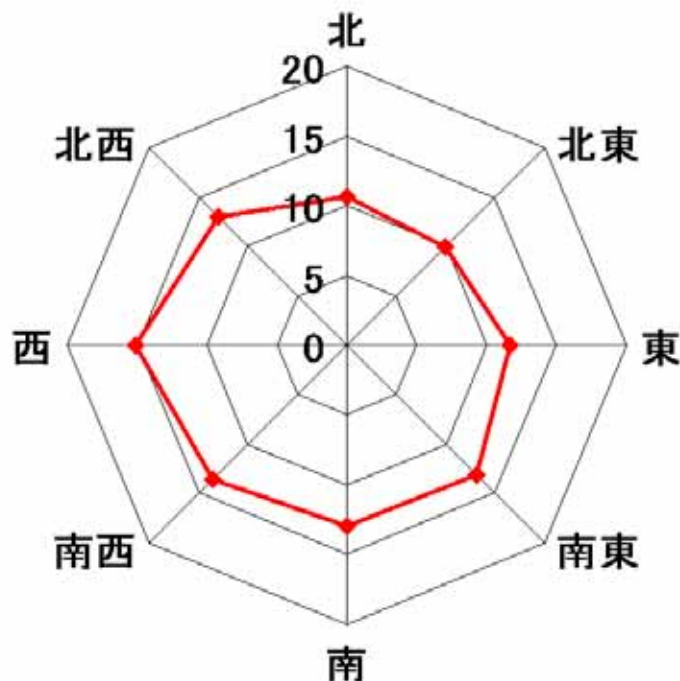


図 : 斜面災害の  
崩壊方位分布

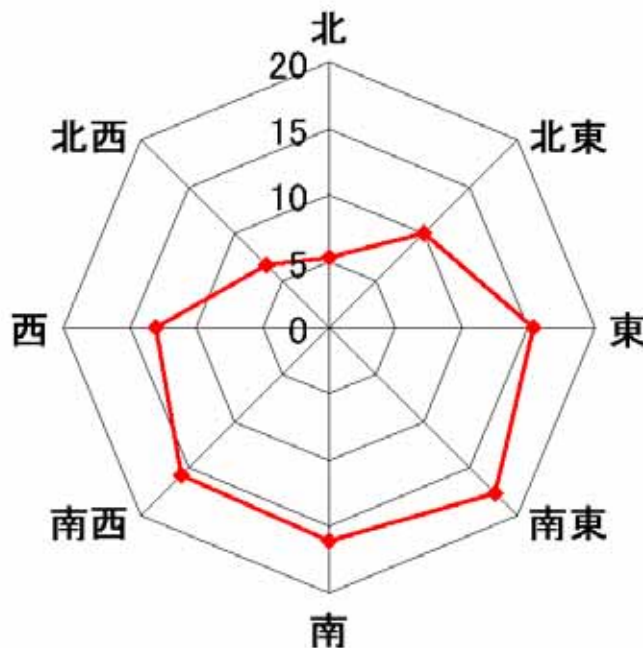
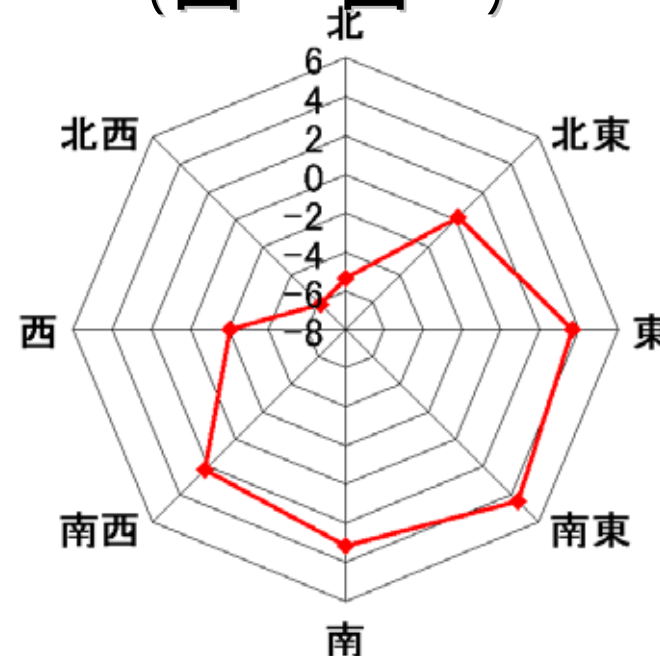


図 : 崩壊方位と全体方位  
の面積割合差分

(図 - 図)



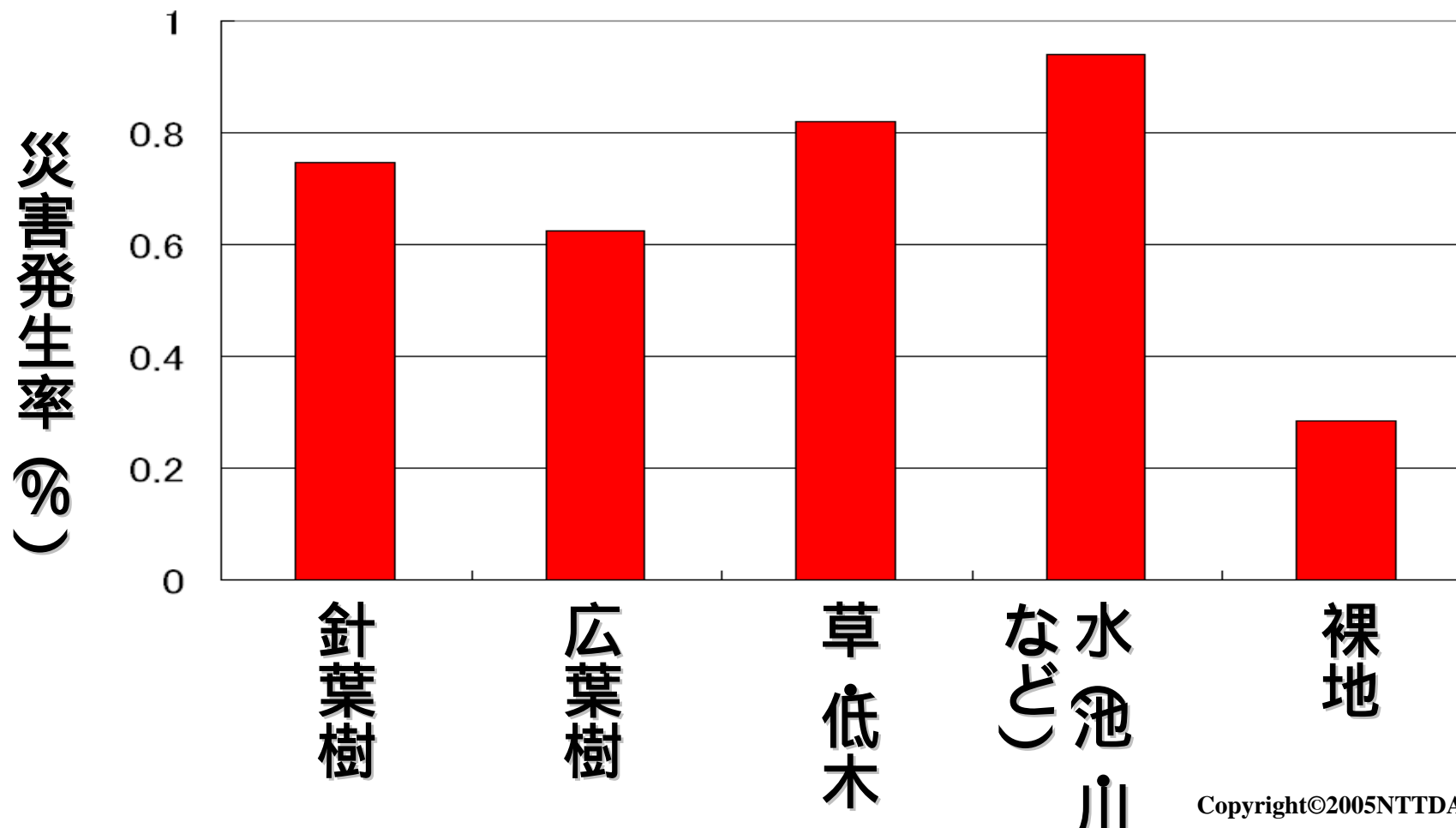
\* 図 全体方位は災害前DEMから計算  
図 崩壊方位は災害後DEMから推定。

崩壊方位は、南東を中心に  
南西～東方向に卓越。



## 土地被覆分布毎の災害発生率(面積割合)

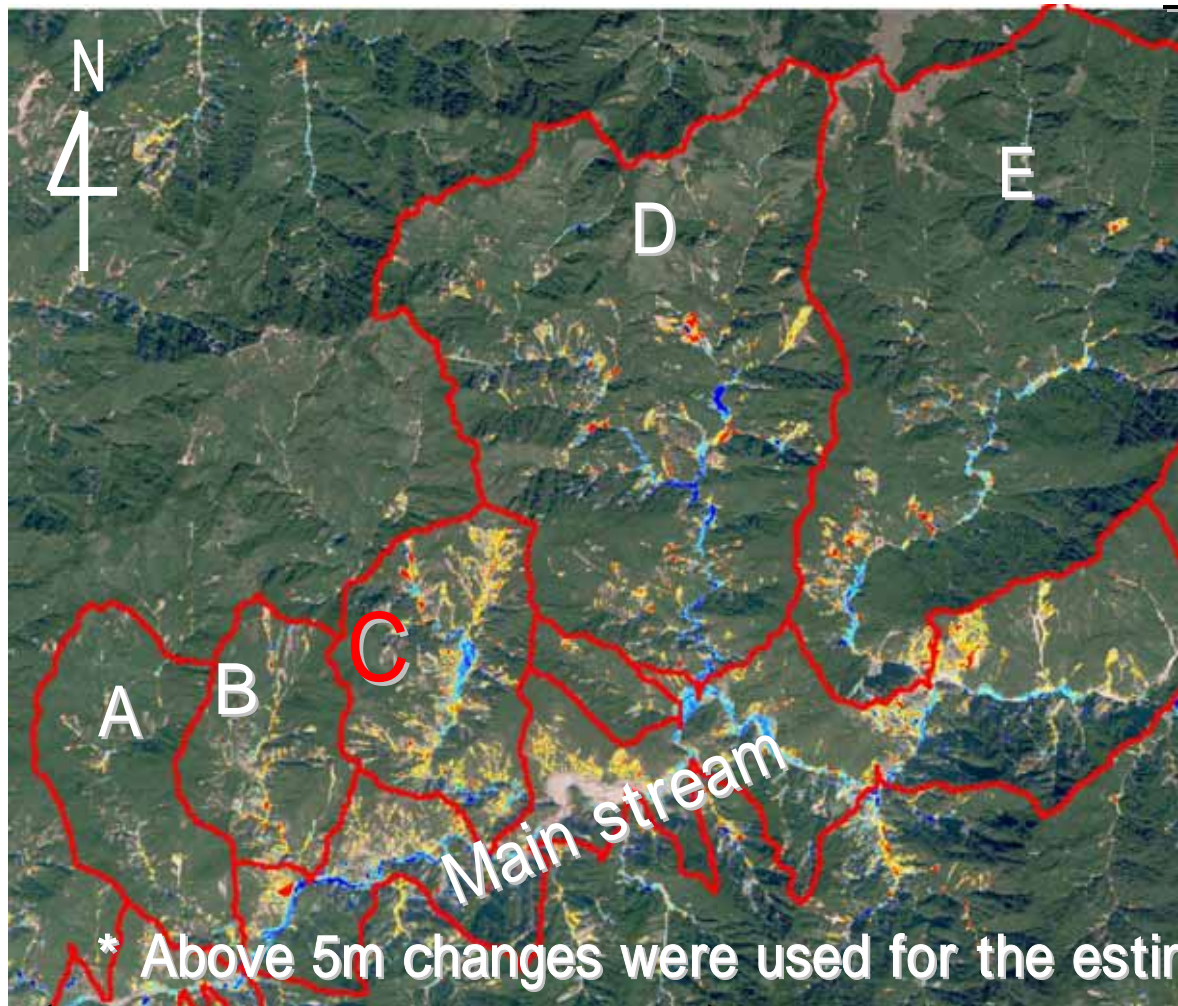
- ・ 震災前の衛星画像から土地被覆種類を分類\*  
( \* 航空写真から教師域を判読して衛星画像解析に適用)



# 流域ごとの分析（台湾での解析例）

- Deformation volume was estimated in the sub-watersheds and mainstream.
- Sub-watershed C** was estimated as the most main supply source of debris flow into the mainstream.

Estimated deformation volume\*



	Minus	Plus	Total
<b>Main</b>	<b>-16.3</b>	<b>+20.3</b>	<b>+4.0</b>
A	-1.1	+0.8	-0.3
<b>B</b>	<b>-3.0</b>	<b>+1.2</b>	<b>-1.8</b>
<b>C</b>	<b>-8.7</b>	<b>+4.9</b>	<b>-3.8</b>
D	-10.9	+10.8	-0.1
<b>E</b>	<b>-8.2</b>	<b>+6.5</b>	<b>-1.7</b>
<b>Total</b>	<b>-48.2</b>	<b>+44.4</b>	<b>-3.8</b>

Unit: ( $\times 10^6 \text{ m}^3$ )

# ・まとめ

## 【今できること】 現状把握

- ・斜面災害発生箇所の推定
- ・災害面積、移動土砂量の概算推定

## 【今後やりたいこと】 将来予測

- ・どのような場所で災害が起こる可能性が高いか？
  - 植生情報
  - 地質情報
  - 水の流れ情報 等
- との統合解析 『危険度マップ』

- ・リアルタイム情報を用いた災害発生予測支援